



の空間に集まるベクトルの重み係数,  $\beta_6$ :捕食粒子から遠ざかるベクトルの重み係数,  $\beta_7$ :被捕食粒子に近づくベクトルの重み係数,  $\beta_8$ :被捕食粒子のグループ中心に近づくベクトルの重み係数,  $F_i$ :各適応行動のベクトルの重み係数である。

### (3) 適応行動の決定領域等

各粒子は、行動を決定する領域（図3）として、衝突回避域、並進行動域、求心行動域、探索（視認）域、死角域を持つ。また、粒子の増殖、補足による消滅、寿命を考慮する。

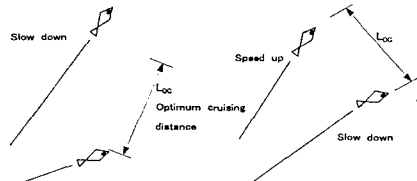


図1 最適遊泳距離の調整

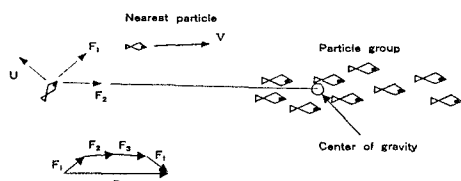


図2 遊泳ベクトルの調整

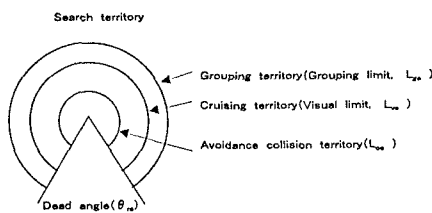


図3 適応行動の決定領域

## 3. 解析結果と考察

図4に示すような $500 \times 500 \times 150\text{m}$ の直方体水槽（貯水池を想定）において粒子モデルの機能確認を行う目的で解析を実施した。尚、解析では水槽内の流速分布に変化を与えるため、内部に障害物を設定した。また、水槽下流端の $500\text{m}$ 部分に取水口を設け、取水口への迷入魚の個体数確認を含めて実施した。

流れ場の解析条件は、上流端に流速 ( $=0.08\text{m/s}$ ) を連続条件として与え、下流の取水口から取水する定常状態を想定した。粒子の種類は、2種類を想定し（大魚、小魚）、 $2,000\sim7,000\text{sec}$ の $5,000\text{sec}$ 間のシミュレーションを行った。尚、魚の行動特性、増殖、死滅等のパラメータは、文献資料および調査資料より推定した。

水槽の流動解析結果を図5に示す。取水口付近では、 $0.03\text{m/s}$ 程度の流速が発生している。図6

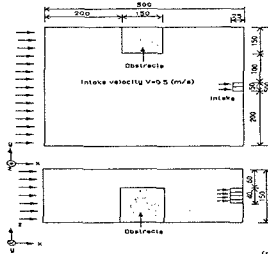


図4 モデル貯水池

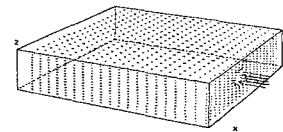


図5 流動解析結果

に水槽内に配置した魚の初期状態を示す。（小魚111匹、大魚8匹をランダムに配置。●:小魚、■:大魚）計算開始後、小魚は群れを形成し、大魚が小魚を追う状況も見られた。図7は $t=7,000\text{sec}$ の状態を示したものである。計算の結果として、取水口付近に群れを成した小魚のうち、迷入漁は、12匹、また小魚13匹が死滅し、9匹が大魚に捕食された。魚の増減は、最終的に小魚が34匹減少して77匹に、大魚が3匹増殖して11匹となった。魚の行動特性等に推定値が含まれているにもかかわらず、計算におけるアニメーションを見ても、不自然な魚の動きは認められず、比較的良好な結果が得られた。

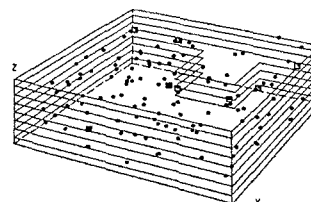


図6 解析開始時の粒子位置

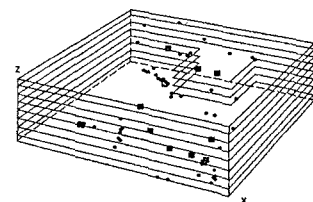


図7 解析終了時の粒子位置

## 4. 結論

本論文のまとめは、以下のとおりである。  
(1) 従来手法では、予測不可能であった水中を動き回る動物（ランクトン、魚等）の行動および増減をA-lifeの考え方に基づく自律行動と量的特性を質量粒子に与えるモデル化を行った。

(2) 粒子モデルは、自由表面を持つ三次元運動方程式、連続条件、エネルギー保存、濃度保存式から構成される流動解析を使用する。

(3) 解析結果から、本モデルによって基本的な生物の行動特性を表現できることができた。

(4) 本モデルのプログラムは簡単であることから、流れの解析プログラム上に移植、または連携することが可能である。

今後の課題としては、自律行動を行う生物種についての行動特性値、量的特性値およびパラメータの設定に関する検討が必要である。本予測手法は、今後生物種の特性値を実験、実測等により確認することで、より精度の高い予測手法として利用可能と考えられる。

### 【参考文献】

- 1) C.G.Langton:人工生命,日本機械学会誌,Vol.97,906, pp.403-407,1994
- 2) Craig W. Reynolds: Flocks, Herds, and Schools: A Distributed Behavioral model, Computer Graphics, Vol. 21, No.4 (Proceedings of SIGGRAPH '87) 25-34, 1987
- 3) 井井信行、水野信彦、中村俊六編: 河川生態工学, 1993, 東京大学出版会